

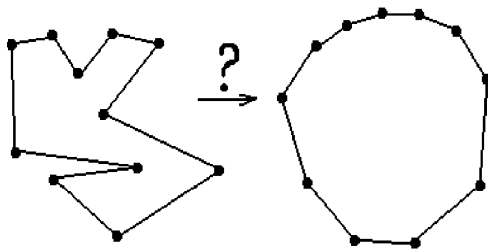
# ЗАДАЧА О ПЛОТНИЦКОЙ ЛИНЕЙКЕ. ЖЕСТКОСТЬ ШАРНИРНЫХ МЕХАНИЗМОВ. ЛАМАНОВЫ ГРАФЫ. ЦИКЛЫ ЖЕСТКОСТИ.

запись Марины Князевой

Плотницкая линейка представляет собой замкнутую плоскую ломаную без самопересечений. Длины отрезков фиксированы, а в вершинах плотницкая линейка может изгибаться, как шарнирный механизм.

**Задача о плотницкой линейке:** Любую ли плотницкую линейку можно распрямить (сделать выпуклой) в плоскости стола, избежав самопересечений в процессе распрямления?

Рисунок 3.1.

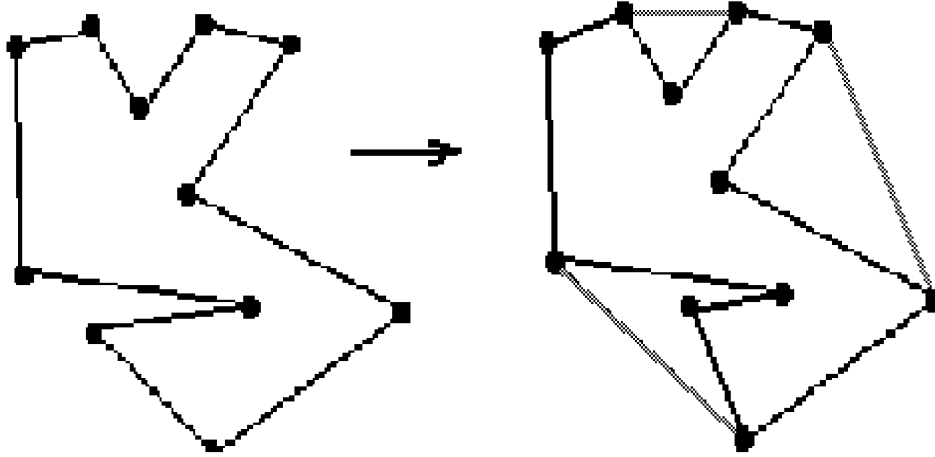


Задача была решена в 2000 году Connelli, Rote, Demain: плотницкую линейку распрямить можно. Явный алгоритм был предложен в том же году I. Streinu.

### Алгоритм распрямления плотницкой линейки:

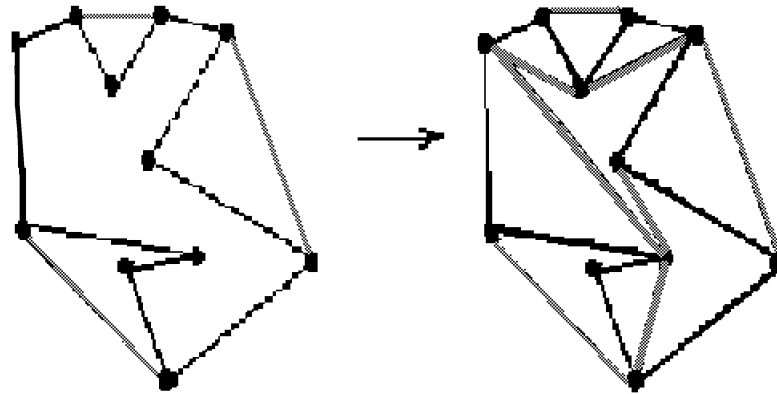
- добавляем новые серые планки на выпуклой оболочке, закрепляя их шарнирами;

Рисунок 3.2.



- добавляем максимально возможное количество новых серых планок так, чтобы выполнялись условия:
  - граф не имеет самопересечений;
  - у каждой вершины должен быть прилегающий угол  $> \pi$  (это свойство называется **свойством "pointed"**).

Рисунок 3.3.

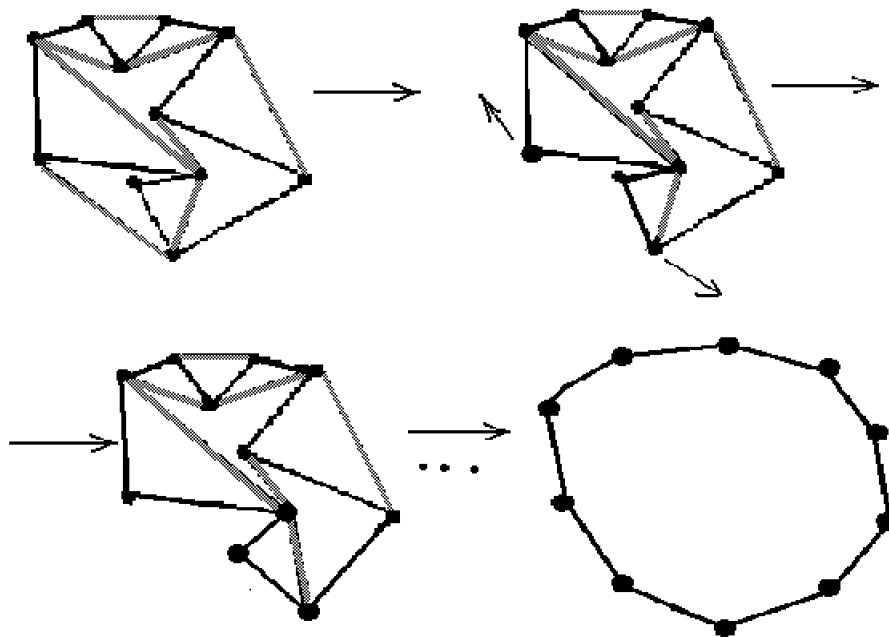


Если убрать одно новое внешнее ребро, то полученный объект будет обладать следующими свойствами:

- *flexible* (он подвижный) с одной степенью свободы (см. теорема 3.7 ниже);
- *expansive motion* (если увеличивать расстояние между вершинами, прежде соединенными удаленным ребром, то расстояние между любыми двумя вершинами объекта не уменьшается!) - пока без доказательства.

Таким образом, убираем одно внешнее серое ребро, раздвигаем вершины (при этом все разъезжается вширь) до тех пор, пока сохраняется свойство "pointed". А когда оно исчезает для какой-нибудь вершины, то простая перестройка позволяет продолжить процесс. Процесс завершится, когда многоугольник станет выпуклым. Так за конечное число шагов плотницкая линейка распрямляется на плоскости.

Рисунок 3.4.



### Ламановы графы.

Будем рассматривать планарный граф  $\Gamma$  без петель и кратных ребер;  $v$  - количество вершин графа;  $e$  - количество ребер.

**Определение 3.5.** *Геометрической реализацией* графа называем плоский рисунок графа с условиями: все ребра - отрезки прямых, и они не пересекаются. Реализация графа называется *реализацией общего положения*, если вершины графа лежат в общем положении.

Будем рассматривать плоскую реализацию как шарнирный механизм.

**Определение 3.6.**  $\Gamma$  - ламанов, если  $e = 2v - 3$  и любые  $k$  вершин графа порождают не более  $2k - 3$  ребер. (Под порождением понимаем следующее: берем подграф, натянутый на выбранные вершины и считаем его ребра)

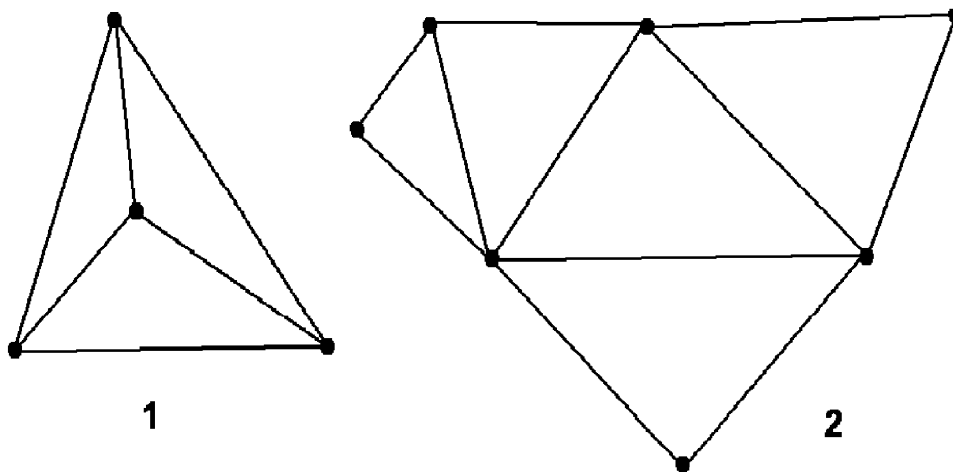
**Теорема 3.7.**  $\Gamma$  - ламанов  $\Leftrightarrow$

- его общая реализация - жесткий механизм, и
- это минимальный жесткий механизм, т.е.  $\Gamma \setminus \{\text{любое ребро}\}$  - нежесткий механизм.  $\square$

(Без доказательства)

Например, первый граф жесткий, но не минимальный жесткий; второй - жесткий и минимально жесткий, т.е. ламанов.

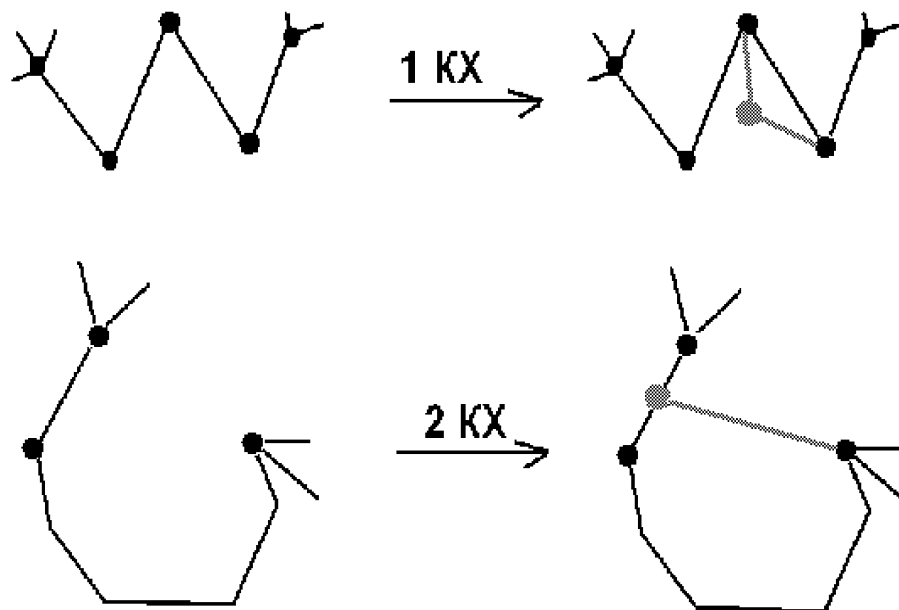
**Рисунок 3.8.**



**Комбинаторные конструкции Хеннеберга.**

Это комбинаторные локальные достройки связного графа, не меняющие его жесткость.

Рисунок 3.9.



**1 конструкция Хеннеберга:** добавляется новая вершина, которая соединяется ребрами с двумя старыми вершинами.

**2 конструкция Хеннеберга:** добавляется новая вершина на старом ребре (это старое ребро превращается в два новых ребра) и новая вершина соединяется с некоторой старой вершиной.

**Теорема 3.10.**  $\Gamma$  - ламанов  $\Leftrightarrow \Gamma$  получается цепочкой конструкций Хеннеберга из графа с двумя вершинами и одним ребром.  $\square$

(Без доказательства)

**Псевдотриангуляции.**

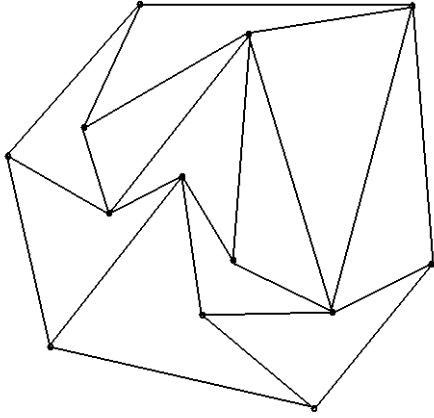
**Определение 3.11.** Псевдотреугольником называется многоугольник, у которого ровно 3 выпуклых вершины.

Например, обычный треугольник является псевдотреугольником.

**Определение 3.12.** Псевдотриангуляцией называется разбиение плоского выпуклого многоугольника на псевдотреугольники.

Особенно важны псевдотриангуляции, обладающие свойством "pointed". Вот пример "pointed" псевдотриангуляции.

Рисунок 3.13.



**Теорема 3.14.**  $\Gamma$  - ламанов, планарен  $\Leftrightarrow \Gamma$  реализуем в виде "pointed" псевдотриангуляции.

Доказательство:

$\Leftarrow$  Обозначим через  $f$  число областей разбиения псевдотриангуляции. Тогда из формулы Эйлера получаем:

$$v - e + f = 2$$

Заметим, что углов всего  $2e$ , из них углов, больших  $\pi$ , всего  $v$ . Число выпуклых углов с одной стороны равно  $2e - v$ , а с другой стороны равно  $3(f - 1)$ . Тогда получаем:

$$3(f - 1) = 2e - v$$

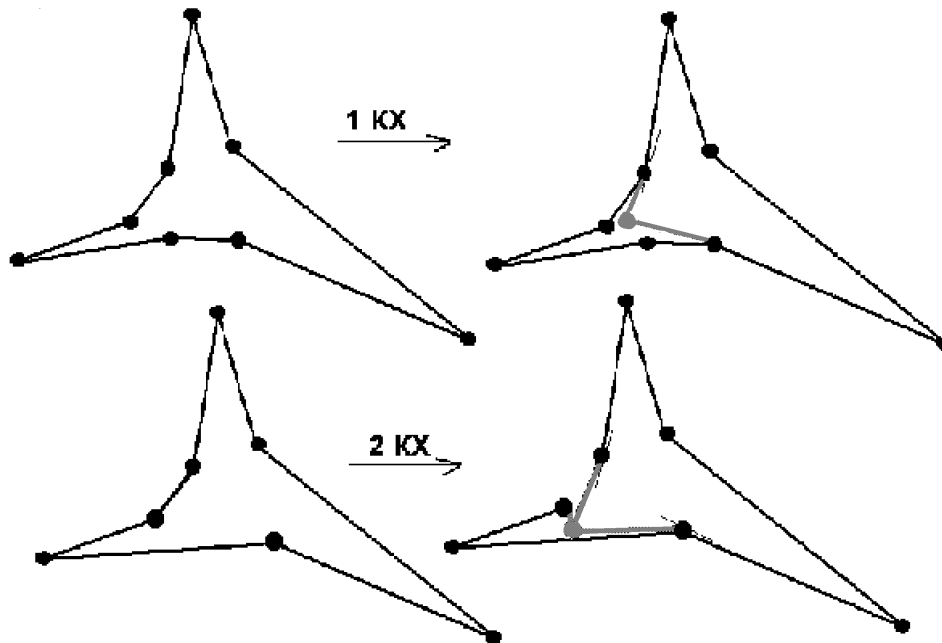
Объединив эти формулы, получим:

$$e = 2v - 3$$

Таким образом, выполнено первое условие ламановости графа. Второе условие следует из того, что свойство "pointed" наследуется подграфами.

$\Rightarrow$  Представим  $\Gamma$  в виде последовательности конструкций Хеннеберга от треугольника  $\Gamma = X_1 \dots X_n(\Delta)$ . Исходный граф (треугольник) можно нарисовать в виде псевдотриангуляции (обычный исходный для конструкций Хеннеберга треугольник есть и псевдотриангуляция). Продемонстрируем на примере, что конструкции Хеннеберга могут быть реализованы геометрически с сохранением свойства "pointed" в виде псевдотриангуляций. Поскольку на каждом шагу граф ламанов, то все рисунки - "pointed" псевдотриангуляции.

Рисунок 3.15.



Если в граф уже нельзя добавить ребро с сохранением свойства "pointed", то это граф ламанов.  $\square$

**Определение 3.16.**  $\Gamma$  - Ламан+1-граф, если  $\Gamma \setminus \{\text{некоторое ребро}\}$  - ламанов.

**Теорема 3.17.** • Множество планарных Ламан+1-графов совпадает с множеством графов, допускающих вложение в плоскость в виде псевдотриангуляции, все вершины которой, кроме одной являются "pointed".

- Такое вложение Ламан+1-графа может быть построено индуктивно, стартуя с вложенного графа  $K_4$  (полного графа с четырьмя вершинами). Каждый шаг построения - геометрическая реализация конструкции Хеннеберга.

Такое вложение порождает стартовую псевдотриангуляцию (в данном случае - обычную триангуляцию) ровно с одной не "pointed" вершиной. Каждый шаг алгоритма - геометрическая конструкция Хеннеберга, меняющая вложение лишь локально.  $\square$

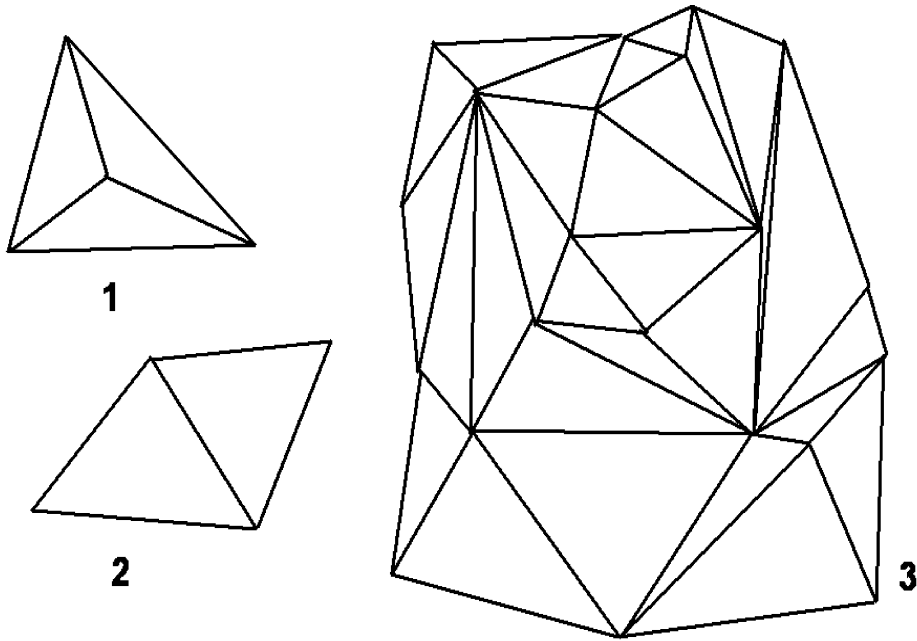
(доказательство аналогично доказательству предыдущей теоремы.)

**Определение 3.18.** Пусть есть реализация  $\Gamma$ . Говорим, что  $\Gamma$  обладает **3D lift** -ом, если существует кусочно-линейная относительно порожденного разбиения функция  $f : \mathbb{R}^2 \rightarrow \mathbb{R}$ .

С точки зрения теории виртуальных многогранников такие графы особенно интересны.

Например, 1 и 3 обладают 3D lift -ом, а 2 - нет (т.к. есть двухвалентные вершины).

**Рисунок 3.19.**



**Определение 3.20.**  $\Gamma$  - *цикл жесткости (rigidity circuit)*, если  $\Gamma \setminus \{\text{любое ребро}\}$  - ламанов.

**Теорема 3.21.** *Общая реализация  $\Gamma$  имеет единственный (с точностью до аффинного преобразования) 3D lift  $\Leftrightarrow \Gamma$  - цикл жесткости.*  $\square$

(Без доказательства)

**Мораль:** мы получили простой способ проверки того, существует ли для разбиения (области на плоскости или сферы) кусочно-линейная относительно этого разбиения функция. Проверка сводится к подсчету числа ребер и вершин.

*E-mail address:* panina@iias.spb.su, gaiane-panina@rambler.ru